

九州大学工学部。学生員 前浜 光輔 正員 粕井 和朗

正員 神野 健二 正員 上田 年比古

まえがき 亂流中の单一粒子の運動は乱れの特性量であるエネルギー散逸率、微分・積分特性距離、コルモゴロフのミクロスケールと粒子の比重、粒子径などの関係で概略把握されているが¹⁾、低波数から高波数領域にわたる乱れエネルギー分布の時間的減衰過程で粒子の運動特性を吟味した研究はあまりないようである。ここではその第一歩として、Patterson²⁾ が行なった一様等方性乱流のシミュレーション法を参考にして乱れの速度の計算につき 2,3 の検討結果を述べる。

基礎式 非圧縮性流体場として周期的

境界条件を満足する一边 L の立方体を仮定すれば例えば流速 $U(x, t)$ については (6) 式のようなフーリエ展開が可能となり、(1), (2) 式は (7), (8), (9) 式と変形できる。同様に (3) 式は (10) 式となる。また (4) 式の Divergence をとり、フーリエ変換を行なうことにより (11) 式が得られる。

数値計算について

(1) 数値計算を行なう立方体について コンピューターの記憶容量の制限と F.F.T. の計算時間節約のため、立方体中のグリッド数は $32 \times 32 \times 32$ とした。また立方体の一边 L は $\pi \text{ cm}$ とした。これにより生成される波数空間は $K = 2\pi/L \cdot n_i$ (n_i は整数ベクトルで $-16 \leq n_i < 16$) より $-32 \leq K < 32$ である。

(2) 初期乱れの場の発生と計算結果 初期乱れの場は初期エネルギースペクトル $E(k, 0)$ を与えて正規乱数を発生させることにより求めれる。初期エネルギースペクトル形決定のための条件として、数値計算を行なう波数領域内の低波数領域と高波数領域においてエネルギーが十分に減衰していること、今後の計算結果と

Hinze³⁾ や文献⁴⁾ とが比較できることがあり、(3) 式はこの条件を満足する。初期乱れの場のフーリエ変換である $\hat{U}_x(k)$ は (7) 式により決定する。ここで $\chi(k)$, $\$ (k)$ は (4), (5), (6) 式を満足する平均ゼロの正規乱数である。 $P_{sp}(k)$ は (8) 式で示され、 δ_{kp} はクロネッカーデルタである。決定された $U_x(k)$ は異なった波数間での統計的直交性を表わす (9) 式、波数空間のエネルギー分布を表わす (10) 式、連続式である (11) 式、共役条件を表わす (12) 式をすべて満足する。数値計算上での問題点としては i) 初期乱れの場のエネルギースペクトル検定のための (20) 式における K の選定 ii) 正規乱数発生時の初期値の選定 iii) 共役条件 (12) 式の、使用する F.F.T. プログラムのデータフォーマットへの適合が考えられる。ii) では各 K で表わされるシェル中のグリッド個数の総和が K^2 の定数倍に近

表-1 計算に必要な式

<基礎式>

$$\partial U(x, t)/\partial t - \nu \nabla^2 U(x, t) = \$ (x, t) - \nabla (P(x, t) + E(x, t)) \quad (1)$$

$$\nabla \cdot U(x, t) = 0 \quad (2) \quad \omega(x, t) = \nabla \times U(x, t) \quad (3)$$

$$S(x, t) = U(x, t) \times \omega(x, t) \quad (4) \quad E(x, t) = 1/2 \cdot U(x, t) \cdot U(x, t) \quad (5)$$

$$U(x, t) = \sum_{all k} \hat{U}(k, t) \exp(iK \cdot x) \quad (6)$$

$$d \hat{U}(k, t) / dt + \nu k^2 \hat{U}(k, t) = \hat{\chi}(k, t) \quad (7) \quad K \cdot \hat{U}(k, t) = 0 \quad (8)$$

$$\hat{\chi}(k, t) = -K^{-2} \{ K \times \{ K \times S(k, t) \} \} \quad (9) \quad \hat{\omega}(k, t) = iK \times \hat{U}(k, t) \quad (10)$$

$$\hat{\chi}(k, t) = -iK^{-2} K \hat{S}(k, t) - \hat{E}(k, t) \quad (11)$$

$$\hat{U}(k, t+\Delta t) = (\hat{U}(k, t) + \Delta t \cdot \hat{\chi}(k, t)) / (1 + \Delta t \cdot \nu K^2) \quad (12)$$

<初期乱れの場の発生に用いる式>

$$E(k, 0) = 16 (2/\pi)^{1/2} V_0^2 K_{peak}^{-5} K^4 \exp\{-2(K/K_{peak})^2\} \quad (13)$$

$$\langle Y_a(k) \cdot Y_p(k') \rangle = \langle S_a(k) \cdot S_p(k') \rangle = 0 \quad (K \neq K') \quad (14)$$

$$\langle Y_a(k) \cdot Y_p(k) \rangle = \langle S_a(k) \cdot S_p(k) \rangle = \delta_{kp} \{ L^2 \hat{E}(k) / (16\pi^2) \} \quad (15)$$

$$\langle Y_a(k) \cdot S_p(k') \rangle = 0 \quad (16)$$

$$\hat{U}_a(k) = P_{sp}(k) \{ Y_p(k) + Y_p(-k) + i(S_p(k) - S_p(-k)) \} \quad (17)$$

$$P_{sp}(k) = \delta_{kp} - K_a \cdot K_p / K^2 \quad (18)$$

$$\langle \hat{U}_a(k) \cdot \hat{U}_p(k') \rangle = 0 \quad (K \neq K') \quad (19) \quad K_a \hat{U}_a(k) = 0 \quad (20)$$

$$\langle \hat{U}_a(k) \cdot \hat{U}_p(-k) \rangle = (L^2/4\pi) \{ \hat{E}(k) / K^2 \} P_{sp}(k) \quad (21)$$

$$\hat{U}_a(k) = [\hat{U}_a(-k)]^* \quad (22)$$

<乱れの場の特性量の計算式>

$$v^2 f(r) = 2 \int_0^\infty \hat{E}(k) (\sin kr / kr - \cos kr) / k^2 r^2 dk \quad (23)$$

$$g(r) = f(r) + r/2 \cdot \partial f(r) / \partial r \quad (24)$$

$$L(k) = \pi / (2 \cdot V(k)^2) \cdot \int_0^\infty \hat{E}(k, t) / k dk \quad (25)$$

$$I(\lambda) = \{ 15 \nu U(\lambda)^2 / E(\lambda) \}^{1/2} \quad (26) \quad E(\lambda) = 2 \nu \int_0^\infty K^2 \hat{E}(k, t) dk \quad (27)$$

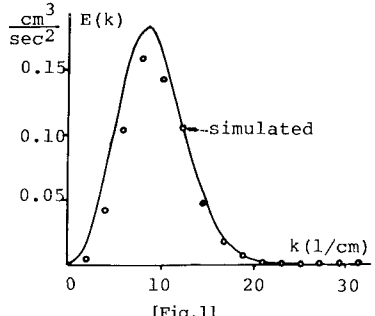
$$\hat{E}(k) = 1/(2 \cdot K^2) \cdot \sum_{|k_1 - k| \leq k \leq |k_1 + k_2|} 1/2 \cdot \hat{U}_a(k) \cdot \hat{U}_a(-k) \quad (28)$$

づくようだ。波長を選定する。これにより $2\pi K$ の厚さともシェルの単位表面積当たりのグリッド個数を一定値に近づけることができる。ii)では (28)式により求められるエネルギーースペクトル形が(3)式に近づくよう正規乱数の初期値を選定する。iii)今回の数値計算に用いたフーリエ変換式は $\hat{U}_j = \sum_{|k| \leq K} \hat{U}(k) e^{2\pi i k j / N} (j=0, \dots, 2K-1) (x_j = 2\pi j / 2K)$ で、波数領域の定義は $-K \leq k < K$ であるのに対し、一般的 F.F.T. プログラムでは $A_j = \sum_{n=0}^{N-1} a_n e^{2\pi i n j / N} (j=0, \dots, N-1)$ を採用している。したがって一般的 F.F.T. プログラムを利用する場合、波数の範囲を適合させなければならぬ。今、 $N=2K$ とし、 $k'=k+K$, $a_{k'}=\hat{U}(k)$ とすれば上式は $\hat{U}_j = (-1)^j \sum_{k=0}^{N-1} a_k e^{2\pi i k j / N}$ となる。フーリエ変換に関しては $\hat{U}(k) = 1/N \sum_{j=0}^{N-1} U_j e^{-2\pi i k j / N} (|k| < K)$ となる。ここで $0 \leq k < K$ に対して $k''=k$ であり、 $-K \leq k < 0$ に対して $k''=k+N$ である。以上の変更によって共役条件(22)式は $a_{k'}=a_{N-k}^*$ ($0 < k' < N$), $a_0=a_0^*$ となり使用する F.F.T. プログラムのデータフォーマットに従って共役条件を成立させることが必要となる。次に初期場の計算結果を Fig. 1~3 に示している。Fig. 1 は仮定した初期エネルギーースペクトル形(3)式と発生させた乱れの場について (28)式により求めた計算結果との対比である。これは上記 i), ii) の誤差を考慮すればほぼ妥当な計算結果である。Fig. 2 は $Z=L/2$ cm での $x-y$ 方向のフローパターンである。Fig. 3 は (28)式で求めた $\hat{U}(k)$ を補間した関数形を用いて (23), (24) 式より $f(r)$ と $g(r)$ を計算したものである。(なお補間しない場合には $f(r)$ に周期性が生じ負の値をとることがある。) また (26), (27) 式より $L=0.229$ cm, $\lambda=0.091$ cm, $\epsilon=9.467$ cm²/sec³ であった。

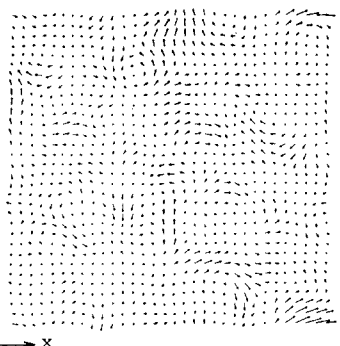
(3) 非定常計算について 上記の手法により発生した初期乱れの場のフーリエ変換 $\hat{U}(k, 0)$ をフーリエ逆変換した $U(x, 0)$ と、 $\hat{U}(k, 0)$ を(4)式に代入して得られる $\hat{U}(k, 0)$ のフーリエ逆変換 $u(x, 0)$ を用いて (4) 式により $s(x, 0)$ を求める。 $s(x, 0)$ のフーリエ変換 $\hat{s}(k, 0)$ を用いての式により全 $(k, 0)$ を求める。全 $(k, 0)$ と $\hat{U}(k, 0)$ を用いて (2) 式より次の時間ステップ Δt の $\hat{U}(k, 0+\Delta t)$ を求める。 $\hat{U}(k, 0+\Delta t)$ をフーリエ逆変換して $U(x, 0+\Delta t)$ を求める。この計算を繰り返すことにより乱れの場は時間について前進計算される。計算過程のフローチャートを Fig. 4 に示す。

あとがき 今回も一様等方性乱流における初期乱流場を波数空間で発生させる問題を検討したにとどまつたが、減衰過程における乱れの特性量が時間的に数値計算されればそのような流体場での離散微細粒子の沈降、成層化過程における運動特性についても数値計算できると考えられる。

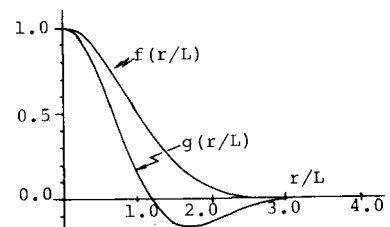
参考文献 1) J.O. Hintze, Turbulent Fluid and Particle Interaction, Progress in Heat and Mass Transfer (1971) pp433-452 2) U. Shumann & G.S. Patterson, Numerical study of pressure and velocity fluctuations in nearly isotropic turbulence, J. Fluid Mech. (1978) vol. 88 part 4 pp685-709 3) S.A. Orszag, Numerical methods for the simulation of turbulence, Highspeed computing in fluid dynamics (1969) pp 250-257 4) S.A. Orszag, Numerical Simulation of incompressible flows within simple boundaries, Studies in applied mathematics (1971) pp293-327 5) 亂流 (集友正著) 横書店版 6) SSL-II (九大C.P.U ライブライアリ)



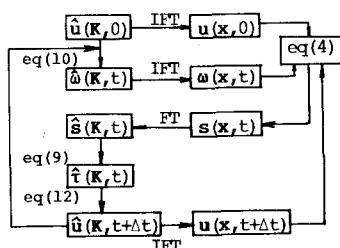
[Fig.1]



[Fig.2]



[Fig.3]



FT: Fourier Transform
IFT: Inverse Fourier Transform

[Fig.4]